

ВЛИЯНИЕ ИЗОТОПОВ КИСЛОРОДА  
НА ПАРАМЕТРЫ ЯМР ПЕРТЕХНЕТАТ-АНИОНА  $\text{TcO}_4^-$

© 2015 г. В. П. Тарасов<sup>1,2\*</sup>, Г. А. Киракосян<sup>1,2</sup>, К. Э. Герман<sup>2</sup>

<sup>1</sup>Институт общей и неорганической химии им. Н.С. Курнакова Российской академии наук, Москва

<sup>2</sup>Институт физической химии и электрохимии им. А.Н. Фрумкина Российской академии наук, Москва

\*E-mail: tarasov@igic.ras.ru

Поступила в редакцию 26.03.2014

Методом ЯМР  $^{17}\text{O}$  и  $^{99}\text{Tc}$  изучено влияние замещения изотопов кислорода  $^{16}\text{O} \leftrightarrow ^{17}\text{O} \leftrightarrow ^{18}\text{O}$  в координационной сфере пертехнетат-аниона  $\text{TcO}_4^-$  на химический сдвиг ядер  $^{99}\text{Tc}$  и спин-спиновое взаимодействие  $^{99}\text{Tc}-^{17}\text{O}$  и  $^{17}\text{O}-^{99}\text{Tc}$ . Определены изотопные сдвиги  $^{16/17}\Delta$ ,  $^{16/18}\Delta$  ЯМР  $^{99}\text{Tc}$  и константы спин-спинового взаимодействия (КССВ) изотопомеров  $\text{Tc}^{16}\text{O}_2^{17}\text{O}_2^-$ ,  $\text{Tc}^{16}\text{O}_3^{18}\text{O}^-$ ,  $\text{Tc}^{16}\text{O}_3^{17}\text{O}^-$ ,  $\text{Tc}^{16}\text{O}_2^{17}\text{O}^{18}\text{O}^-$ ,  $\text{Tc}^{16}\text{O}_2^{18}\text{O}_2^-$ . В растворе пертехнетата аммония для анионов  $\text{Tc}^{16}\text{O}_3^{18}\text{O}^-$  и  $\text{Tc}^{16}\text{O}_3^{17}\text{O}^-$  в диапазоне температур 278–333 К изотопный сдвиг (в м.д.) описывается линейными соотношениями  $^{16/18}\Delta = -0.616 + 6.45 \cdot 10^{-4}T$  и  $^{16/17}\Delta = -0.302 + 2.67 \cdot 10^{-4}T$  соответственно. В растворе пертехнетата натрия для изотопомера  $\text{Tc}^{16}\text{O}_3^{17}\text{O}^-$  абсолютная величина изотопного сдвига  $^1\Delta(^{16/17}\text{O})$  нелинейно уменьшается с ростом температуры. Нелинейность температурной зависимости изотопного сдвига  $^1\Delta(^{16/18}\text{O})$  ЯМР  $^{99}\text{Tc}$  раствора  $\text{NaTcO}_4$ , по-видимому, связаны с равновесием между контактными и гидратно-разделенными ионными парами.

**Ключевые слова:** ЯМР  $^{17}\text{O}$ ,  $^{99}\text{Tc}$ , пертехнетат-анион, температурная зависимость, изотопный сдвиг, КССВ.

**DOI:** 10.7868/S0207401X15040159

ВВЕДЕНИЕ

В спектроскопии ЯМР вторичный изотопный эффект  $\Delta(A)$  определяется как изменение спектрального параметра  $\Theta$  (химического сдвига спина А или константы спин-спинового взаимодействия А–Х) при изотопном замещении легкого изотопа  $^L\text{X}$  на более тяжелый изотоп  $^H\text{X}$  в системе  $\text{AX}_n$  [1]:

$$^1\Delta(\text{A}) = \Theta(\text{A}^H\text{X}_n) - \Theta(\text{A}^L\text{X}^H\text{X}_{n-1}). \quad (1)$$

Главная особенность этих эффектов состоит в том, что по величине они чрезвычайно малы. Так,  $^1\Delta(\text{A})$  обычно составляет около 0.1–0.2% от значения константы спин-спинового взаимодействия (КССВ). Величина изотопного сдвига зависит от диапазона экранирования резонирующего ядра и пропорциональна отношению  $(m' - m)/m'$ , где  $m'$  и  $m$  – массы тяжелого и легкого изотопов соответственно. Если изотопные сдвиги были определены и проанализированы при замещении как легких,  $^1\text{H}/^2\text{H}/^3\text{H}$ , так и многих тяжелых изотопов:  $^{12}\text{C}/^{13}\text{C}$ ,  $^{14}\text{N}/^{15}\text{N}$ ,  $^{16}\text{O}/^{18}\text{O}$ ,  $^{32}\text{S}/^{34}\text{S}$ ,  $^{35}\text{Cl}/^{37}\text{Cl}$  и

$^{79}\text{Br}/^{81}\text{Br}$  [2], то влияние изотопного состава на КССВ было установлено в основном только при замещении водорода надейтерий  $^1\text{H}/^2\text{H}$  [3, 4] или водорода на тритий  $^1\text{H}/^3\text{H}$ , т.е. в системах с максимально возможным изменением отношения значений масс [5]. Теоретическая трактовка влияния изотопного состава на химические сдвиги и КССВ разработана Джемисон и Остеном [2, 3].

Благоприятные спектральные параметры ЯМР  $^{99}\text{Tc}$  и  $^{17}\text{O}$  для пертехнетат-аниона  $\text{TcO}_4^-$  в водной и неводной средах (оптимальные времена спин-решеточной релаксации –  $T_1$  (~0.15 с), малая ширина линии (5–15 Гц) и большой диапазон химических сдвигов) позволили измерить при относительно невысоких магнитных полях  $H_0 = 2.1$  Тл изотопные сдвиги ЯМР  $^{99}\text{Tc}$ , индуцированные изотопным замещением  $^{16}\text{O}/^{18}\text{O}$ , и КССВ  $^1J(^{17}\text{O}-^{99}\text{Tc})$  в образцах, обогащенных по  $^{17}\text{O}$  и  $^{18}\text{O}$  [6, 7]. Чо с соавт. [8] провели измерения в магнитном поле  $H_0 = 7.04$  Тл и при природном содержании изотопов кислорода впервые исследовали температурные

зависимости изотопного сдвига ЯМР  $^{99}\text{Tc}$ ,  $^1\Delta$ , и константы спин-спинового взаимодействия  $^1J(^{99}\text{Tc}-^{17}\text{O})$  для изотопомера  $\text{Tc}^{16}\text{O}_3^{17}\text{O}^-$ .

Цель настоящей работы состояла в экспериментальном измерении температурной зависимости изотопных сдвигов и констант  $^1J(^{17}\text{O}-^{99}\text{Tc})$  и  $^1J(^{99}\text{Tc}-^{17}\text{O})$  и определении аддитивности изменения изотопного сдвига и КССВ при изотопном замещении  $^{16}\text{O}/^{17}\text{O}$  и  $^{16}\text{O}/^{18}\text{O}$  в анионе  $\text{TcO}_4^-$  в концентрированных растворах.

## ЭКСПЕРИМЕНТ

Концентрированные растворы соединений технеция  $\text{NaTcO}_4$  (I),  $\text{Tc}_2\text{O}_7$  (II),  $\text{NH}_4\text{TcO}_4$  (III) при концентрации  $\sim 0.7-4.07$  моль были изучены в обогашенной по изотопам  $^{17}\text{O}$  (1.7%) и  $^{18}\text{O}$  (0.8%) воде. Спектры ЯМР  $^{17}\text{O}$  и  $^{99}\text{Tc}$  регистрировали в полях 7.04 и 14.1 Тл на радиоспектрометрах Брукер AVANCE-300 и AVANCE-600. Спиновую систему возбуждали  $30^\circ$ -импульсом (длительность  $90^\circ$ -импульса составляла 10 и 15 мкс для  $^{99}\text{Tc}$  и  $^{17}\text{O}$  соответственно). Спектральная ширина составляла 1500 и 10000 Гц на 32 кбайт памяти для технеция-99 и кислорода-17 соответственно. При регистрации ЯМР  $^{99}\text{Tc}$  число усреднений  $N = 200$ , для  $^{17}\text{O}$  число усреднений было равно 500. Период повторения импульсов — 1 с. Исследуемые растворы помещали в стандартные ЯМР-ампулы диаметром 5 мм. Температуру образца с точностью  $\pm 0.1^\circ$  устанавливали с помощью блока BVT-3200. Для устранения градиента температур по длине ампулы использовали направленный поток воздуха с высокой скоростью: 400–500 л/мин. Перед каждым измерением образец терmostатировали при заданной температуре не менее 15–20 мин. Для каждой температуры запись спектра проводили два раза.

## РЕЗУЛЬТАТЫ

### 1. Изотопное замещение $^{16}\text{O} \leftrightarrow ^{17}\text{O} \leftrightarrow ^{18}\text{O}$

В результате межмолекулярного обмена кислородом между тетраоксоанионом технеция  $\text{TcO}_4^-$  и изотопно-обогащенной водой в растворе образуются ряд изотопомеров технеция, координационное окружение которых состоит из трех различных изотопов кислорода. Общее число возможных изотопомеров,  $Z$ , определяется как

$$Z = (n + s - 1)! / n!(s - 1)! \quad (2)$$

и равно 15, где  $n = 4$  — координационное число технеция в пертехнетат-анионе,  $s = 3$  — число изотопов кислорода ( $^{16}\text{O}$ ,  $^{17}\text{O}$ ,  $^{18}\text{O}$ ). При случайном

распределении содержание  $C$  каждого изотопомера определяется как [9]

$$C = n!(r_{16})^a(r_{17})^b(r_{18})^c / (a!b!c), \quad (3)$$

где  $r_{16}$ ,  $r_{17}$ ,  $r_{18}$  — мольные доли изотопов кислорода:  $r_{16} + r_{17} + r_{18} = 1$ ; коэффициенты  $a$ ,  $b$  и  $c$  определяют число соответствующих изотопов в пертехнетат-анионе так, что  $a + b + c = 4$ .

В таблице приведены данные по содержанию всех 15 изотопомеров для естественного изотопного (по кислороду) состава воды и для обогащенного изотопного состава воды, использованного в данной работе. Следует отметить, что для естественного содержания изотопов кислорода температурные зависимости изотопных эффектов (сдвиг ЯМР  $^{99}\text{Tc}$  и КССВ  $^{99}\text{Tc}-^{17}\text{O}$ ) были изучены в магнитном поле  $H_0 = 7.04$  Тл только для первых трех изотопомеров, приведенных в таблице [8]. Как будет показано ниже, для растворов, изученных в настоящей работе, реально наблюдаются параметры ЯМР  $^{99}\text{Tc}$  только для первых шести изотопомеров, отмеченных в таблице.

### 2. Влияние замещения $^{16}\text{O}-^{18}\text{O}$ и $^{16}\text{O}-^{17}\text{O}$ на параметры ЯМР $^{99}\text{Tc}$

Во всех изученных образцах влияние изотопного замещения на константу экранирования  $^{99}\text{Tc}$  характеризуется регистрацией сигналов от изотопомеров  $\text{Tc}^{16}\text{O}_3^{18}\text{O}^-$  и  $\text{Tc}^{16}\text{O}_3^{17}\text{O}^-$ , смещенных в сильное поле от основного сигнала  $\text{Tc}^{16}\text{O}_4^-$  примерно на  $\sim -0.434$  м.д. и  $-0.215$  м.д. соответственно. Спектр ЯМР  $^{99}\text{Tc}$  изотопомера  $\text{Tc}^{16}\text{O}_3^{18}\text{O}^-$  представляет собой узкий одиночный сигнал, а спектр изотопомера  $\text{Tc}^{16}\text{O}_3^{17}\text{O}^-$  характеризуется мультиплетной структурой из шести линий, обусловленной спин-спиновым взаимодействием спина технеция со спином кислорода-17 ( $^{17}I = 5/2$ ) с КССВ  $^1J(^{99}\text{Tc}-^{17}\text{O})$ .

Мультиплетность спектра ЯМР  $^{99}\text{Tc}$  в анионе  $\text{Tc}^{16}\text{O}_2^{17}\text{O}_2^-$  при взаимодействии спина ядра технеция с двумя эквивалентными спинами кислорода-17 состоит из 11 линий и определяется как

$$(2nI + 1) = (2 \times 2 \times 5/2 + 1) = 11, \quad (4)$$

где  $n = 2$  — число спинов кислорода-17,  $I = 5/2$  — спин ядра кислорода-17. Соотношение интенсивностей сигналов в этом мультиплете из 11 линий, согласно треугольнику Паскаля, составляет  $1 : 2 : 3 : 4 : 5 : 6 : 5 : 4 : 3 : 2 : 1$ . На рис. 1 представлены спектры ЯМР  $^{99}\text{Tc}$  системы  $\text{Tc}_2\text{O}_7 + \text{H}_2^{17}\text{O}$  (насыщенный раствор) при комнатной температуре (298 К), записанные в поле  $H_0 = 14.1$  Тл. Для аниона  $\text{Tc}^{16}\text{O}_3^{17}\text{O}^-$  значения КССВ, измеренные по всем шести линиям мультиплета и по крайним линиям этого же мультиплета составляют

## Содержание изотопомеров технеция при статистическом распределении изотопов кислорода

 $^{16}\text{O} : ^{17}\text{O} : ^{18}\text{O}$  в пертехнетат-анионе  $\text{TcO}_4^-$ 

№	Состав изотопомера	Относительная концентрация изотопомера	
		$^{16}\text{O} : ^{17}\text{O} : ^{18}\text{O}^* =$ $= 0.99757 : 0.00038 : 0.00205$	$^{16}\text{O} : ^{17}\text{O} : ^{18}\text{O}^{**} =$ $= 0.975 : 0.017 : 0.008$
1	$\text{Tc}^{16}\text{O}_4^-$	0.9903153	0.9015
2	$\text{Tc}^{16}\text{O}_3^{18}\text{O}^-$	$8.2129477 \cdot 10^{-3}$	0.03164
3	$\text{Tc}^{16}\text{O}_3^{17}\text{O}^-$	$1.5237026 \cdot 10^{-3}$	0.06328
4	$\text{Tc}^{16}\text{O}_2^{18}\text{O}_2^-$	$2.5092604 \cdot 10^{-5}$	$4.2 \cdot 10^{-4}$
5	$\text{Tc}^{16}\text{O}_2^{17}\text{O}^{18}\text{O}^-$	$9.302623 \cdot 10^{-6}$	$1.7 \cdot 10^{-3}$
6	$\text{Tc}^{16}\text{O}_2^{17}\text{O}_2^-$	$8.6429484 \cdot 10^{-7}$	$3.33 \cdot 10^{-3}$
7	$\text{Tc}^{16}\text{O}_2^{18}\text{O}_3^-$	$3.437676 \cdot 10^{-8}$	$2.4 \cdot 10^{-6}$
8	$\text{Tc}^{16}\text{O}^{17}\text{O}_2^{18}\text{O}_2^-$	$1.946833 \cdot 10^{-8}$	$1.46 \cdot 10^{-5}$
9	$\text{Tc}^{16}\text{O}^{17}\text{O}_2^{18}\text{O}^-$	$3.55224 \cdot 10^{-9}$	$2.92 \cdot 10^{-5}$
10	$\text{Tc}^{16}\text{O}^{17}\text{O}_3^-$	$2.189564 \cdot 10^{-10}$	$1.95 \cdot 10^{-5}$
11	$\text{Tc}^{18}\text{O}_4^-$	$1.7661006 \cdot 10^{-11}$	$5.3 \cdot 10^{-9}$
12	$\text{Tc}^{17}\text{O}^{18}\text{O}_3^-$	$1.309499 \cdot 10^{-11}$	$2.1 \cdot 10^{-13}$
13	$\text{Tc}^{17}\text{O}_2^{18}\text{O}_2^-$	$3.641046 \cdot 10^{-12}$	$8.6 \cdot 10^{-8}$
14	$\text{Tc}^{17}\text{O}_3^{18}\text{O}^-$	$4.499504 \cdot 10^{-13}$	$1.71 \cdot 10^{-7}$
15	$\text{Tc}^{17}\text{O}_4^-$	$2.085136 \cdot 10^{-14}$	$8.6 \cdot 10^{-8}$

\* Естественное содержание изотопов.

\*\* Растворы соединений технеция ( $\text{NaTcO}_4$ ,  $\text{NH}_4\text{TcO}_4$ ,  $\text{Tc}_2\text{O}_7$ ) в воде с обогащением по  $^{17}\text{O}$  и  $^{18}\text{O}$  до  $\sim 1.7\%$  и  $\sim 0.8\%$  соответственно.

$J(^{99}\text{Tc}-^{17}\text{O}) = (131.22 \pm 0.20)$  Гц и  $(131.39 \pm 0.20)$  Гц соответственно. Для аниона  $\text{Tc}^{16}\text{O}_2^{17}\text{O}_2^-$  величины КCCB, измеренные по девяти линиям и по крайним линиям мультиплета составляют  ${}^1J(^{99}\text{Tc}-^{17}\text{O}) = (131.97 \pm 0.20)$  Гц и  $(131.99 \pm 0.20)$  Гц соответственно. Для системы  $\text{Tc}_2\text{O}_7 + \text{H}_2^{17}\text{O}$  из сопоставления КCCB для анионов  $\text{Tc}^{16}\text{O}_2^{17}\text{O}_2^-$  и  $\text{Tc}^{16}\text{O}_3^{17}\text{O}^-$  изотопный эффект в отношении КCCB составляет по модулю  $\Delta J = |{}^1J(\text{Tc}^{16}\text{O}_2^{17}\text{O}_2^-) - {}^1J(\text{Tc}^{16}\text{O}_3^{17}\text{O}^-)| = (0.7 \pm 1.0)$  Гц.

На рис. 2 показаны спектры ЯМР  $^{99}\text{Tc}$  концентрированного раствора  $\text{NH}_4\text{TcO}_4$  (0.7 М), зарегистрированные в поле  $H_0 = 7.04$  Тл при 318 К. При достаточно "мягких" условиях регистрации в спектрах раствора  $\text{NH}_4\text{TcO}_4$  (0.7 М), помимо сигнала от изотопомера  $\text{Tc}^{16}\text{O}_4^-$  при 0.0 м.д., отчетливо проявляются: синглет от изотопомера

$\text{Tc}^{16}\text{O}_3^{18}\text{O}^-$  при  ${}^1\Delta = -0.432$  м.д., секстет от изотопомера  $\text{Tc}^{16}\text{O}_3^{17}\text{O}^-$  с КCCB  ${}^1J(^{99}\text{Tc}-^{17}\text{O}) = (131.34 \pm 0.67)$  Гц при  ${}^1\Delta = -0.217$  м.д., синглет от изотопомера  $\text{Tc}^{16}\text{O}_2^{18}\text{O}_2^-$  при  ${}^1\Delta = -0.852$  м.д., секстет от изотопомера  $\text{Tc}^{16}\text{O}_2^{17}\text{O}^{18}\text{O}^-$  с КCCB  ${}^1J(^{99}\text{Tc}-^{17}\text{O}) = (131.76 \pm 0.93)$  Гц при  ${}^1\Delta = -0.671$  м.д. и мультиплет из 11 линий от изотопомера  $\text{Tc}^{16}\text{O}_2^{17}\text{O}_2^-$  при  ${}^1\Delta \approx -0.44$  м.д. с КCCB равной  $(131.34 \pm 0.67)$  Гц. Тогда изотопный эффект на КCCB составляет  $\Delta J = |{}^1J(\text{Tc}^{16}\text{O}_2^{17}\text{O}^{18}\text{O}^-) - {}^1J(\text{Tc}^{16}\text{O}_3^{17}\text{O}^-)| = (0.42 \pm 1.60)$  Гц и  $\Delta J = |{}^1J(\text{Tc}^{16}\text{O}_2^{17}\text{O}_2^-) - {}^1J(\text{Tc}^{16}\text{O}_3^{17}\text{O}^-)| = (0 \pm 1.4)$  Гц. Таким образом, погрешность в измерении изотопного эффекта в отношении КCCB  $J(^{99}\text{Tc}-^{17}\text{O})$  превышает величину этого эффекта. Возможно, имеет место слабая тенденция роста КCCB  $|J(^{99}\text{Tc}-^{17}\text{O})|$  с увеличением массы изотопомера. Эта тенденция была ранее отмечена в работе [6].

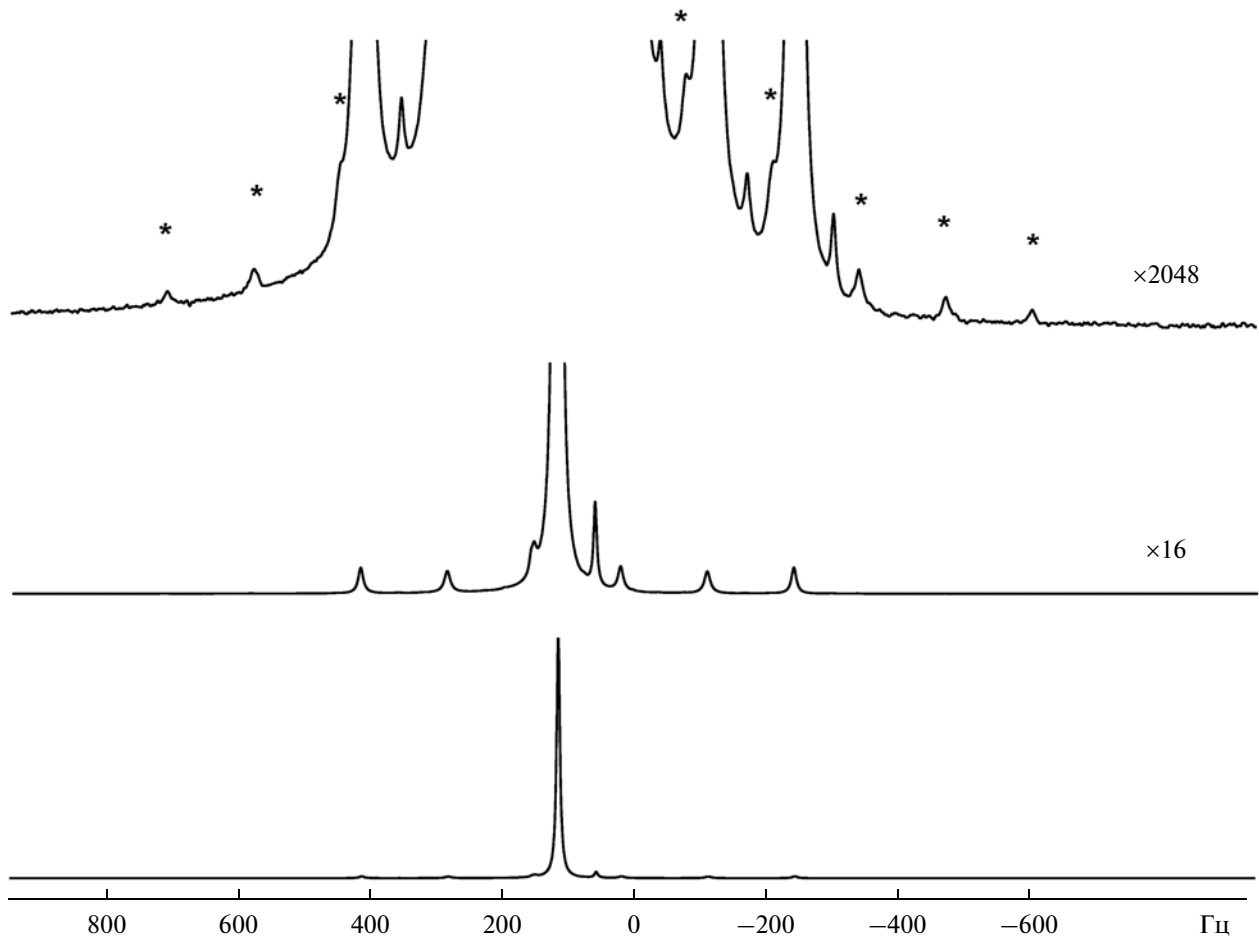


Рис. 1. Спектры ЯМР  $^{99}\text{Tc}$  раствора  $\text{Tc}_2\text{O}_7 + \text{H}_2^{17}\text{O}$  ( $\sim 4.5$  М) при  $298$  К в магнитном поле  $H_0 = 14.1$  Тл. Звездочками обозначены сателлитные линии от спин-спинового взаимодействия  $^{99}\text{Tc}-^{17}\text{O}$  аниона  $\text{Tc}^{16}\text{O}_2^{17}\text{O}_2^-$ .

### 3. Температурная зависимость сдвига изотопомера $\text{Tc}^{16}\text{O}_4^-$

Температурные зависимости положения сигнала ЯМР  $^{99}\text{Tc}$  аниона  $\text{Tc}^{16}\text{O}_4^-$  для растворов  $\text{NaTcO}_4$  и  $\text{NH}_4\text{TcO}_4$  являются линейными с близкими коэффициентами наклона  $\Delta_T(\text{NaTc}^{16}\text{O}_4) = -40.25 + 0.143T$  и  $\Delta_T(\text{NH}_4\text{Tc}^{16}\text{O}_4) = -36.69 + 0.123T$ . Этот результат свидетельствует о слабом влияния типа катиона или концентрации на магнитное экранирование ядра технеция в изотопомере  $\text{Tc}^{16}\text{O}_4^-$ . Измеренные сдвиги для  $\text{Tc}^{16}\text{O}_4^-$  при переходе от 283 до 333 К составляли 7.183 и 6.66 м.д. для натриевого и аммонийного катионов соответственно. Эти значения примерно в два раза больше, чем измеренные изменения сдвига с ростом температуры для разбавленных растворов  $\text{KTcO}_4$  (0.1 М) и  $\text{NH}_4\text{TcO}_4$  (0.01 М) [8]. Температурная зависимость константы экранирования технеция,  $\sigma(T)$ , в изотопомере  $\text{Tc}^{16}\text{O}_4^-$  (при условии эквивалентности всех четырех связей  $\text{Tc}-\text{O}$  в анионе и в

отсутствие химического обмена) представляется в первом приближении как [10]

$$\sigma(T) \approx \sigma_e + (\partial\sigma/\partial\Delta r)_e \cdot 4^T\langle\Delta r\rangle, \quad (5)$$

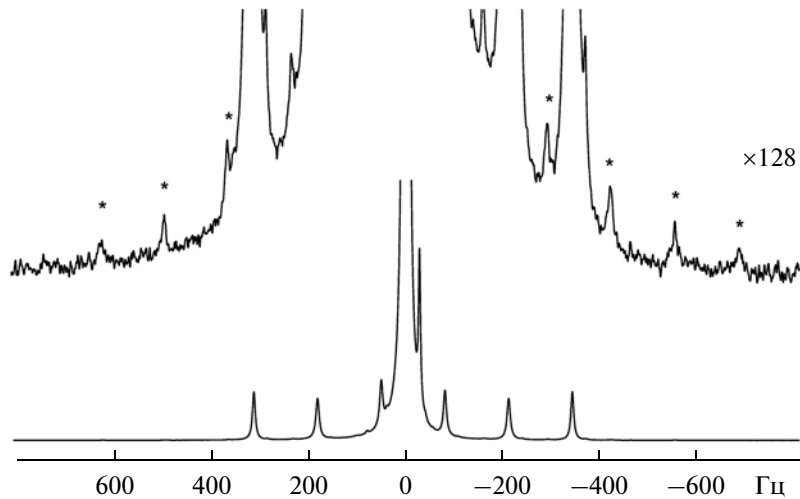
где  $^T\langle\Delta r\rangle$  – усредненное колебательно-вращательное изменение длины связи  $\text{Tc}-^{16}\text{O}$  при данной температуре  $T$ ,  $\sigma_e$  – величина экранирования при равновесном значении  $r_e$  – длины связи  $\text{Tc}-^{16}\text{O}$ . В явном виде температурная зависимость  $\sigma(T)$  следует из детального анализа  $^T\langle\Delta r\rangle$ , представляемого в виде суммы колебательного и вращательного вкладов:

$$^T\langle\Delta r\rangle = ^T\langle\Delta r\rangle_{vib} + ^T\langle\Delta r\rangle_{rot}. \quad (6)$$

Для молекул с  $T_d$ -симметрией вращательный вклад определяется как [2]

$$^T\langle\Delta r\rangle_{rot} = (4B_e r_e / hc\omega_e^2) kT, \quad (7)$$

где  $B_e$  – вращательная константа аниона  $\text{Tc}^{16}\text{O}_4^-$ ,  $\omega_e$  – валентная частота колебаний в  $\text{см}^{-1}$ . Остальные обозначения являются общепринятыми. Для



**Рис. 2.** Спектры ЯМР  $^{99}\text{Tc}$  раствора  $\text{NH}_4\text{TcO}_4 + \text{H}_2^{17}\text{O}$  (0.7 М) при 318 К в магнитном поле  $H_0 = 7.04$  Тл. Звездочками обозначены сателлитные линии от спин-спинового взаимодействия  $^{99}\text{Tc}-^{17}\text{O}$  аниона  $\text{Tc}^{16}\text{O}_2^{17}\text{O}_2^-$ .

изотопомера  $\text{Tc}^{16}\text{O}_4^-$  численное значение температурного коэффициента в формуле (7) составляет  $0.15 \cdot 10^{-4}$  Å/град при  $r_e = 1.711$  Å,  $\omega_e = 912$  см $^{-1}$ .

Хотя вращательный вклад  ${}^T\langle\Delta r\rangle_{rot}$  на порядок меньше, чем колебательный, тем не менее в данном диапазоне температур изменение именно вращательного вклада определяет линейность температурной зависимости химического сдвига. Тогда можно оценить изменение экранирования с ростом температуры как

$$\sigma(T) - \sigma(283 \text{ K}) = (\partial\sigma/\partial\Delta r)_e \cdot 4 ({}^T\langle\Delta r\rangle - {}^{283}\langle\Delta r\rangle); \quad (8)$$

$(\partial\sigma/\partial\Delta r)_e$  не зависит от температуры, и для  $\text{Tc}^{16}\text{O}_4^-$  эта величина равна  $-2030$  м.д./Å [2]. Наблюдаемое поведение химического сдвига с ростом температуры полностью определяется изменением термически усредненной длины связи  $\langle\Delta r(\text{Tc}-^{16}\text{O})\rangle$ . Тогда это изменение при повышении температуры от 283 до 333 К составляет  $({}^T\langle\Delta r\rangle - {}^{283}\langle\Delta r\rangle) = 8.85 \cdot 10^{-4}$  Å для  $\text{NaTcO}_4$  и  $8.2 \cdot 10^{-4}$  Å для  $\text{NH}_4\text{TcO}_4$ . Для свободного пертехнетат-аниона вычисленная длина связи  $\text{Tc}-\text{O}$  составляет 1.717 Å, а для гидратированного аниона она равна 1.714 Å [8]. Эти величины хорошо согласуются со значением 1.711 Å, полученным из дифракционных экспериментов на монокристаллах [11].

#### 4. Изотопные сдвиги как функции температуры

Химический и изотопный сдвиги как функции температуры внутренне связаны между собой. Для высокосимметричных ионов, таких как  $\text{Tc}^{16}\text{O}_4^-$ , изотопный сдвиг ЯМР  $^{99}\text{Tc}$  при замещении одного изотопа  $^{16}\text{O}$  на  $^{18}\text{O}$  можно записать аналогично формуле (8):

$$\begin{aligned} {}^1\Delta({}^{99}\text{Tc}) &= \sigma(\text{Tc}^{18}\text{O}^{16}\text{O}_3) - \sigma(\text{Tc}^{16}\text{O}_4) = \\ &= (\partial\sigma/\partial\Delta r)_e ({}^{18}\langle\Delta r\rangle - {}^{16}\langle\Delta r\rangle), \end{aligned} \quad (9)$$

где  ${}^{18}\langle\Delta r\rangle$  и  ${}^{16}\langle\Delta r\rangle$  – усредненное колебательно-вращательное изменение длины связи при заданной температуре для рассматриваемых изотопомеров. При 300 К величина сдвига  ${}^1\Delta({}^{99}\text{Tc}) = -0.425$  м.д., тогда изменение средней длины связи ( ${}^{18}\langle\Delta r\rangle - {}^{16}\langle\Delta r\rangle$ ) составляет  $2.12 \cdot 10^{-4}$  Å. При полном изотопном замещении  $^{16}\text{O}$  на  $^{18}\text{O}$  получаем усредненное изменение длины связи:  $2.12 \cdot 10^{-4} \cdot 4 = 8.5 \cdot 10^{-4}$  Å, что численно соответствует влиянию температуры на изменение длины связи.

Температурный фактор изотопного эффекта характеризуется достаточно сложной функцией [2]:

$$F(T) = \{ \operatorname{cth}(h\omega c/2kT) - (\mu/\mu^*)^{1/2} \operatorname{cth}[hc(\mu/\mu^*)\omega/2kT] \}, \quad (10)$$

где  $\mu$  и  $\mu^*$  – приведенные массы легкого и тяжелого изотопомеров,  $\omega$  – валентная частота связи  $\text{Tc}-\text{O}$  в см $^{-1}$ . Функция  $F(T)$  содержит гиперболический котангенс, очень слабо зависит от температуры и предсказывает незначительное уменьшение модуля изотопного сдвига с ростом температуры. Численная оценка отношения  $F(283 \text{ K})/F(333 \text{ K})$  по формуле (10) при  $\omega = 912$  см $^{-1}$  приводит к значениям этого отношения, равным 1.06 и 1.1 для изотопомеров  $\text{Tc}^{16}\text{O}_3^{17}\text{O}^-$  и  $\text{Tc}^{16}\text{O}_3^{18}\text{O}^-$  соответственно. Действительно, с ростом температуры в диапазоне 283–333 К для пертехнетата аммония изотопные сдвиги ЯМР  $^{99}\text{Tc}$   $\Delta^{16/17}$  и  $\Delta^{16/18}$  уменьшаются в 1.05 и 1.09 раза, соответственно, по сравнению со значением, полученным при 283 К.

Температурные зависимости ЯМР  $^{99}\text{Tc}$  изотопных сдвигов  ${}^1\Delta({}^{16/18}\text{O})$  и  ${}^1\Delta({}^{16/17}\text{O})$  для анионов  $\text{Tc}^{16}\text{O}_3{}^{18}\text{O}^-$  и  $\text{Tc}^{16}\text{O}_3{}^{17}\text{O}^-$  в водных растворах пертехнетата аммония приведены на рис. 3 и 4 соответственно. В первом приближении обе зависимости являются линейными и описываются следующими выражениями:

$${}^1\Delta({}^{16/18}\text{O}) = -0.616 + 6.45 \cdot 10^{-4} T \text{ (м.д.) для анионов } \text{Tc}^{16}\text{O}_3{}^{18}\text{O}^-, \quad (11\text{a})$$

$${}^1\Delta({}^{16/17}\text{O}) = -0.302 + 2.67 \cdot 10^{-4} T \text{ (м.д.) для анионов } \text{Tc}^{16}\text{O}_3{}^{17}\text{O}^-. \quad (11\text{б})$$

В растворе пертехнетата натрия температурное поведение изотопного сдвига  ${}^1\Delta({}^{16/17}\text{O})$  для аниона  $\text{Tc}^{16}\text{O}_3{}^{17}\text{O}^-$  характеризуется небольшим отклонением от линейности. Совершенно неожиданным оказалось наличие экстремума на температурной зависимости изотопного сдвига  ${}^1\Delta({}^{16/18}\text{O})$  ЯМР  $^{99}\text{Tc}$  раствора  $\text{NaTcO}_4$ , приведенного на рис. 5. Причины такого поведения  ${}^1\Delta({}^{16/18}\text{O})$  и  ${}^1\Delta({}^{16/17}\text{O})$  не совсем понятны. Можно предположить, что при столь высокой концентрации раствора (4.07 М) наблюдаемое поведение изотопного сдвига связано с равновесием между контактными и сольватно-разделенными ионными парами, т.е.  $[\text{Na}]^+[\text{TcO}_4]^- \leftrightarrow [\text{Na}(\text{H}_2\text{O})_n]^+[\text{TcO}_4]^-$ . С ростом температуры это равновесие сдвигается вправо. В контактной паре  $[\text{Na}]^+[\text{TcO}_4]^-$  модуль изотопного сдвига растет с ростом температуры, а в сольватно-разделенной паре  $[\text{Na}(\text{H}_2\text{O})_n]^+[\text{TcO}_4]^-$  амплитуда изотопного сдвига  $|{}^1\Delta({}^{16/18}\text{O})|$  убывает с повышением температуры. В растворах пертехнетата аммония реализуются только сольватно-разделенные ионные пары. Поэтому модуль изотопного сдвига  $|{}^1\Delta({}^{16/18}\text{O})|$  уменьшается с ростом температуры, как показано на рис. 3.

Следует отметить, что о заметном влиянии концентрации раствора и типа противоиона на величину изотопного сдвига  $\Delta({}^1\text{H}/{}^2\text{H})$  в спектрах ЯМР  $^{14,15}\text{N}$  катиона аммония  $\text{NH}_4^+$  было сообщено для водных растворов аммонийных солей в работе [12]. В этой же работе установлено, что абсолютная величина изотопного сдвига  $\Delta({}^1\text{H}/{}^2\text{H})$  линейно растет с увеличением концентрации.

### 5. Температурные зависимости КССВ ${}^1J({}^{17}\text{O}-{}^{99}\text{Tc})$ и ${}^1J({}^{99}\text{Tc}-{}^{17}\text{O})$

Спектры ЯМР  $^{17}\text{O}$  водного раствора  $\text{NaTcO}_4$  изучены в диапазоне температур 283–343 К. Спектры представляют собой мультиплеты из 10 линий, обусловленных скалярным спин-спиновым взаимодействием  ${}^{17}\text{O}-{}^{99}\text{Tc}$  (спин ядра технеция-99 равен

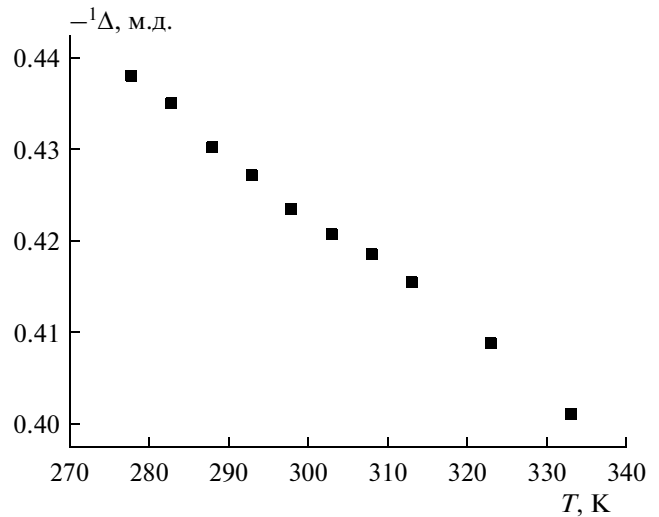


Рис. 3. Зависимость изотопного сдвига ЯМР  $^{99}\text{Tc}$  ( $-{}^1\Delta$ ) от температуры для изотопомера  $\text{Tc}^{16}\text{O}_3{}^{18}\text{O}^-$  в водном растворе  $\text{NH}_4\text{TcO}_4$  (0.7 М);  $-{}^1\Delta({}^{16/18}\text{O}) = -0.616 + 6.45 \cdot 10^{-4} T$  (м.д.);  $H_0 = 7.04$  Тл.

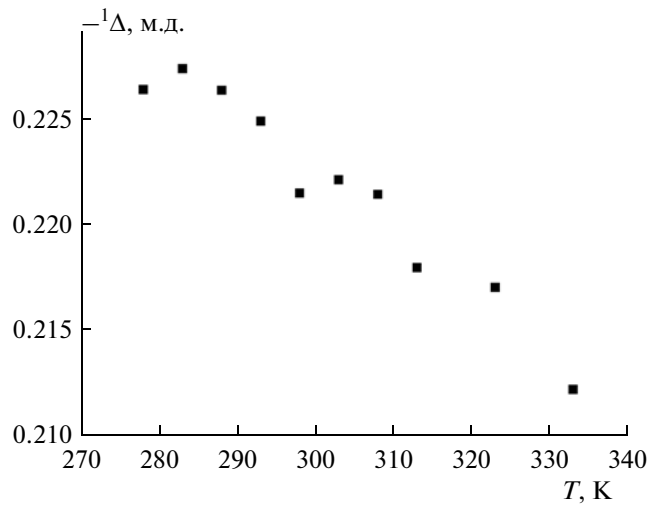


Рис. 4. Температурная зависимость изотопного сдвига ЯМР  $^{99}\text{Tc}$  ( $-{}^1\Delta$ ) для изотопомера  $\text{Tc}^{16}\text{O}_3{}^{17}\text{O}^-$  в водном растворе  $\text{NH}_4\text{TcO}_4$  (0.7 М). Сдвиг определен относительно сигнала  $\text{Tc}^{16}\text{O}_4^-$  как среднее значение положения шести линий мультиплета от спин-спинового взаимодействия  ${}^{99}\text{Tc}-{}^{17}\text{O}$ ;  $-{}^1\Delta({}^{16/17}\text{O}) = -0.302 + 2.67 \cdot 10^{-4} T$  (м.д.);  $H_0 = 7.04$  Тл.

$I = 9/2$ ) с константой  ${}^1J({}^{17}\text{O}-{}^{99}\text{Tc})$ . Сужение линий мультиплета с повышением температуры, как показано на рис. 6, свидетельствует о том, что форма линии ЯМР  $^{17}\text{O}$  полностью определяется квадрупольной релаксацией спина технеция. Химический обмен кислородом настолько медленный, что не влияет на ширину и положение линии ЯМР  $^{17}\text{O}$ . Минимальное время спин-реше-

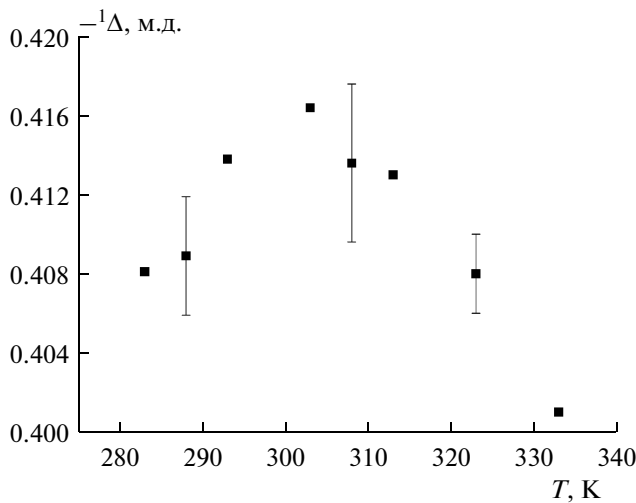


Рис. 5. Зависимость изотопного сдвига ЯМР  $^{99}\text{Tc}$  ( ${}^{-1}\Delta$ ) от температуры для изотопомера  $\text{Tc}^{16}\text{O}_3^{18}\text{O}^-$  в водном растворе  $\text{NaTcO}_4$  (4.07 М);  $H_0 = 7.04$  Тл.

точной релаксации спинов технеция в водном растворе составляет  $T_{1\min}(^{99}\text{Tc}) = 0.16$  с [7, 13]. Поэтому эффекты квадрупольной релаксации спинов технеция-99 также не изменяют положение крайних линий мультиплета, поскольку выполняется условие [1]

$$J({}^{17}\text{O}-{}^{99}\text{Tc}) T_1({}^{99}\text{Tc}) \sim 20.$$

Из трех изотопомеров (в таблице эти частицы обозначены как № 3, № 5 и № 6), соответствующих данному спектру, реально наблюдается только-

ко изотопомеру  $\text{Tc}^{16}\text{O}_3^{17}\text{O}^-$  (№ 3). Содержание этого изотопомера в 20–30 раз превышает содержание двух других (таблица). Ширина линии ЯМР  $^{17}\text{O}$  каждого мультиплета,  ${}^{17}\Delta v_m$ , соответствует определенному спиновому состоянию  $m$  изотопа  $^{99}\text{Tc}$ . Время жизни каждого спинового состояния  $m$  ядра технеция больше, чем обратная величина КССВ  $|^1J({}^{17}\text{O}-{}^{99}\text{Tc})|^{-1}$ , и наблюдаемые ширины линий ЯМР  $^{17}\text{O}$  мультиплета  ${}^{17}\Delta v_{obs}$  можно представить в виде

$${}^{17}\Delta v_{obs} = {}^{17}\Delta v_Q C_m + {}^{17}\Delta v_{ex}, \quad (12)$$

где  ${}^{17}\Delta v_Q$  – собственная ширина линии кислорода-17 в пертехнетат-анионе,  ${}^{17}\Delta v_{ex}$  – ширина линии за счет химического обмена,  $C_m$  – сумма квадратов матричных элементов, соответствующих вероятностным коэффициентам перехода  $\Delta m = \pm 1$  и  $\Delta m = \pm 2$  для спина технеция за счет квадрупольных взаимодействий. Для десяти спиновых состояний ядра технеция:  $m = \pm 9/2, \pm 7/2, \pm 5/2, \pm 3/2$  и  $\pm 1/2$ , значения  $C_m$  составляют 3.854, 7.854, 8.125, 7.125, 6.250 соответственно [6]. Наиболее узкие линии реализуются для двух крайних и двух центральных компонентов мультиплета. Значения КССВ  $^{17}\text{O}-{}^{99}\text{Tc}$  было измерено как расстояние между крайними линиями мультиплета, деленное на 9. Наблюдаемые температурные зависимости КССВ спин-спиновых взаимодействий  ${}^{17}\text{O}-{}^{99}\text{Tc}$  и  ${}^{99}\text{Tc}-{}^{17}\text{O}$  для раствора  $\text{NH}_4\text{TcO}_4$  показывают явное уменьшение по модулю (рис. 7). Для раствора  $\text{NaTcO}_4$  проявляется тенденция к экстремуму (рис. 8), так же как и для изотопного

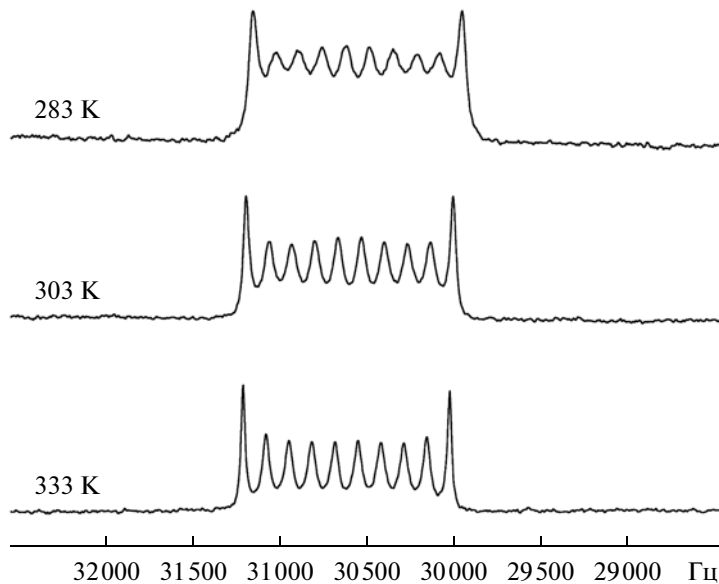


Рис. 6. Температурная зависимость формы линии ЯМР  $^{17}\text{O}$  (7.04 Тл) водного раствора  $\text{NaTcO}_4$  в  $\text{H}_2^{17}\text{O}$  (4.07 М).

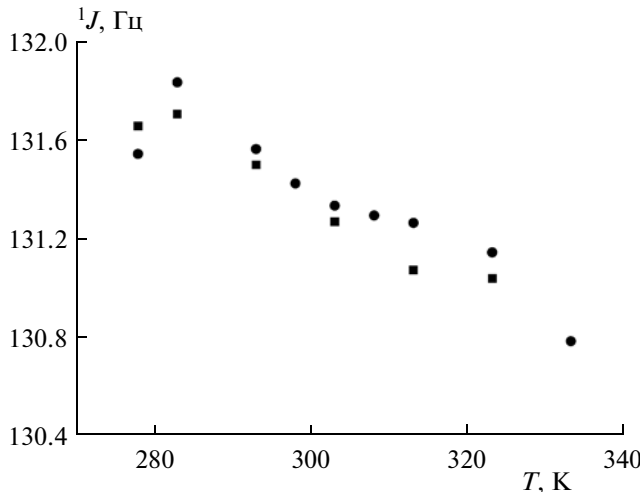


Рис. 7. Температурная зависимость КCCB  ${}^1J(17\text{O}-{}^{99}\text{Tc})$  — ■ и  ${}^1J({}^{99}\text{Tc}-17\text{O})$  — ● для изотопомера  $\text{Tc}^{16}\text{O}_3{}^{17}\text{O}^-$  в водном растворе  $\text{NH}_4\text{TcO}_4$  (0.7 М);  $H_0 = 7.04$  Тл.

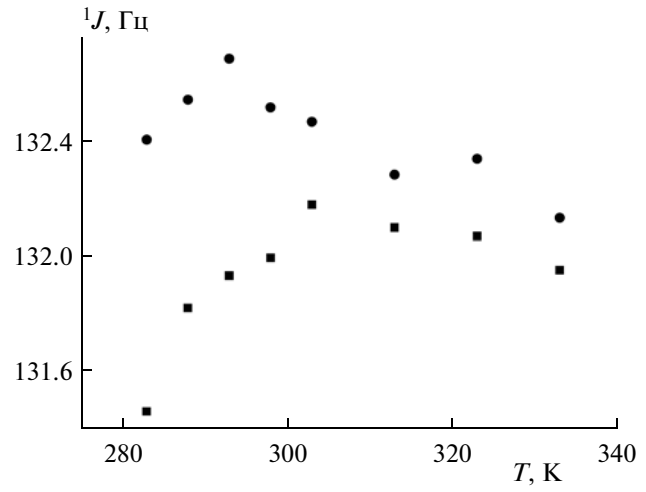


Рис. 8. Зависимость КCCB  ${}^1J(17\text{O}-{}^{99}\text{Tc})$  — ■ и  ${}^1J({}^{99}\text{Tc}-17\text{O})$  — ● от температуры для изотопомера  $\text{Tc}^{16}\text{O}_3{}^{17}\text{O}^-$  в водном растворе  $\text{NaTcO}_4$  (4.07 М);  $H_0 = 7.04$  Тл.

сдвига  ${}^1\Delta({}^{16/18}\text{O})$  для этого раствора. Однако погрешность в измерении КCCB взаимодействий  ${}^{17}\text{O}-{}^{99}\text{Tc}$  и  ${}^{99}\text{Tc}-{}^{17}\text{O}$  превышает требуемую точность для уверенного подтверждения наблюдаемой зависимости. Следует отметить, что теоретическая оценка знака приведенной КCCB в пертехнетат-анионе дает положительное значение  $K({}^{99}\text{Tc}-{}^{17}\text{O}) = +350 \cdot 10^{20} \text{ см}^{-3}$  [14]. Тогда экспериментальное значение  $J({}^{99}\text{Tc}-{}^{17}\text{O})$  должно быть отрицательным, так как гиromагнитное отношение для кислорода-17 является отрицательным, а для технеция-99 — положительным.

Выше было показано, что при замещении  ${}^{16}\text{O}$  на  ${}^{18}\text{O}$  происходит изменение усредненной длины связи:  $|{}^{18}\langle\Delta r\rangle - {}^{16}\langle\Delta r\rangle| = 2.12 \cdot 10^{-4} \text{ \AA}$ , а КCCB изменяется на величину  $\Delta J = |{}^1J(\text{Tc}^{16}\text{O}_2{}^{17}\text{O}{}^{18}\text{O}^-) - {}^1J(\text{Tc}^{16}\text{O}_3{}^{17}\text{O}^-)| = (0.42 \pm 1.60) \text{ Гц}$ . Это изменение  $\Delta J$  можно представить в виде

$$\Delta J = (\partial J / \partial \Delta r)_e ({}^{18}\langle\Delta r\rangle - {}^{16}\langle\Delta r\rangle) = (\partial J / \partial \Delta r)_e \cdot 2.12 \cdot 10^{-4}.$$

Тогда получаем численную оценку  $(\partial J / \partial \Delta r)_e \sim 2000 \text{ Гц}/\text{\AA}$ .

## ЗАКЛЮЧЕНИЕ

Влияние замещения изотопов кислорода  ${}^{16}\text{O} \leftrightarrow {}^{17}\text{O} \leftrightarrow {}^{18}\text{O}$  в координационной сфере пертехнетат-аниона  $\text{TcO}_4^-$  на магнитное экранирование ядер  ${}^{99}\text{Tc}$  и спин-спиновое взаимодействие  ${}^{17}\text{O}-{}^{99}\text{Tc}$  и  ${}^{99}\text{Tc}-{}^{17}\text{O}$  в концентрированных водных растворах пертехнетата натрия ( $\text{NaTcO}_4$ ), пертехнетата аммония ( $\text{NH}_4\text{TcO}_4$ ) и семиоксикиси технеция ( $\text{Tc}_2\text{O}_7$ ) изучено в диапазоне температур 278–340 К

методом ЯМР  ${}^{17}\text{O}$  и  ${}^{99}\text{Tc}$  в магнитных полях 7.04 и 14.1 Тл. В растворах использованной нами обогащенной воды из пятнадцати возможных изотопомеров пертехнетат-аниона  $\text{Tc}^{16}\text{O}_k{}^{17}\text{O}_n{}^{18}\text{O}_{4-k-n}^-$  ( $k, n = 0-4$ ) экспериментально наблюдаются первые шесть изотопомеров (таблица) —  $\text{Tc}^{16}\text{O}_4^-$ ,  $\text{Tc}^{16}\text{O}_3{}^{18}\text{O}^-$ ,  $\text{Tc}^{16}\text{O}_3{}^{17}\text{O}^-$ ,  $\text{Tc}^{16}\text{O}_2{}^{17}\text{O}_2^-$ ,  $\text{Tc}^{16}\text{O}_2{}^{17}\text{O}{}^{18}\text{O}^-$  и  $\text{Tc}^{16}\text{O}_2{}^{18}\text{O}_2^-$ , для которых определены изотопные сдвиги  ${}^{16/17}\Delta$ ,  ${}^{16/18}\Delta$  и константы спин-спинового взаимодействия. В растворе пертехнетата аммония для анионов  $\text{Tc}^{16}\text{O}_3{}^{18}\text{O}^-$  и  $\text{Tc}^{16}\text{O}_3{}^{17}\text{O}^-$  в диапазоне температур 278–333 К изотопный сдвиг описывается линейными соотношениями  ${}^{16/18}\Delta = -0.616 + 6.45 \cdot 10^{-4} T$  (м.д.) и  ${}^{16/17}\Delta = -0.302 + 2.67 \cdot 10^{-4} T$  (м.д.) соответственно. В рамках теории Джемисон—Остена [3] наблюдаемые температурные зависимости изотопных сдвигов рассмотрены как результат колебательного и вращательного усреднений длин связи  $\text{Tc}-\text{O}$ . Порядок изменения длины связи  $\text{Tc}-\text{O}$  при изотопных замещениях составляет  $10^{-4} \text{ \AA}$ . Тот факт, что для изотопомера  $\text{Tc}^{16}\text{O}_3{}^{17}\text{O}^-$  абсолютная величина изотопного сдвига  ${}^1\Delta({}^{16/17}\text{O})$  ЯМР  ${}^{99}\text{Tc}$  нелинейно уменьшается с ростом температуры, а также наличие экстремума на температурной зависимости изотопного сдвига  ${}^1\Delta({}^{16/18}\text{O})$  ЯМР  ${}^{99}\text{Tc}$  концентрированного раствора  $\text{NaTcO}_4$  отражают, по-видимому, влияние равновесия между контактными и гидратно-разделенными ионными парами. Изменение КCCB  $J({}^{99}\text{Tc}-{}^{17}\text{O})$  с ростом температуры для аниона  $\text{Tc}^{16}\text{O}_3{}^{17}\text{O}^-$  характеризуется также слабо выраженным экстремумом. Однако погрешность в

измеренных значениях КССВ больше или сопоставима с температурными изменениями.

### СПИСОК ЛИТЕРАТУРЫ

1. *Sergeyev N.M.* // NMR Basic Principles and Progress. 1990. V. 22. P. 31.
2. *Jameson C.J., Osten H.J.* // Annual Rep. NMR Spectroscopy 1986. V. 17. P. 1.
3. *Jameson C.J., Osten H.J.* // J. Amer. Chem Soc. 1986. V. 108. P. 2497.
4. *Tarasov V.P., Privalov V.I., Buslaev Yu.A., Eichhoff U.* // Z. Naturforsch. 1984. Bd. 39B. S. 1230.
5. *Than C., Morimoto H., Andres H., Williams P.G.* // J. Labelled Compounds and Radiopharmaceuticals. 1995. V. XXXVIII. № 8. P. 693.
6. *Тарасов В.П., Привалов В.И., Киракосян Г.А., Горбик А.А., Буслаев Ю.А.* // Докл. АН СССР. 1982. Т. 263. № 6. С. 1416.
7. *Tarasov V.P., Privalov V.I., Buslaev Yu.A.* // Mol. Phys. 1983. V. 50. № 5. P. 1141.
8. *Cho H., de Jong W.A., McNamara B.K., Rapko B.M., Burgeson I.E.* // J. Amer. Chem. Soc. 2004. V. 126. P. 1158.
9. *Galingaert G., Beaty H.A.* // Ibid. 1939. V. 61. P. 2748.
10. *Jameson C.J., Osten H.J.* // J. Chem. Phys. 1984. V. 81. № 10. P. 4300.
11. *Krebs B., Hasse K.D.* // Acta Crystallogr. 1976. V. B36. P. 1334.
12. *Hansen P.E., Lycka A.* // Acta Chimica Scandinavica. 1989. V. 43. P. 222.
13. *Тарасов В.П., Привалов В.И., Буслаев Ю.А.* // Докл. АН СССР. 1982. Т. 262. № 6. С. 1433.
14. *Яржемский В.Г., Тарасов В.П., Нефедов В.И.* // Кординац. химия. 1983. Т. 9. № 10. С. 1329.